

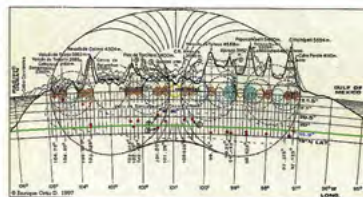
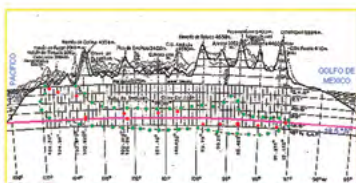
ebook



Geometría Sagrada

Red de Conciencia Crística y Centros de Poder

Dr. en Ciencias, Enrique Ortíz Dávila



presentado por



México

CONTENIDO

INDICE DE FIGURAS.....	i
LISTA DE MAPAS	iii
INTRODUCCION	I
CAPITULO 1 : LA PROPORCION DIVINA	4
CAPITULO 2 : EL REINO DE LA PROPORCION DORADA	11
CAPITULO 3 : LA RETICULA PLANETARIA DE LA PROPORCION DORADA ...	59
CAPITULO 4 : LAS RETICULAS PLANETARIAS Y LA RETICULA DORADA.....	77
CONCLUSIONES	88
REFERENCIAS BIBLIOGRAFICAS Y VIDEOGRAFICAS	95
GLOSARIO	97

INDICE DE FIGURAS

i

Número	Página
Figura 1.- Algunos modelos geométricos de retículas esféricas.....	1
Figura 2.- Una recta dividida por la Proporción Dorada	4
Figura 3.- El Triángulo Dorado y la construcción de gnomons dentro del triángulo dorado.....	7
Figura 4.- El Triángulo Dorado y la Espiral Dorada	8
Figura 5.- El Triángulo Dorado, el decágono, los armónicos reticulares de la velocidad de la luz, y Φ	20
Figura 6.- Esquema general de la zona arqueológica de Teotihuacán	24
Figura 7.- El Templo de las Inscripciones en Palenque	26
Figura 8.- Triángulo formado por las pirámides del Sol y de la Luna en Teotihuacán	28
Figura 9.- El Triángulo Dorado y el triángulo que forman las pirámides de Teotihuacán	33
Figura 10.- El Triángulo de Pitágoras en Teotihuacán	36
Figura 11.-El triángulo que forman las pirámides de Teotihuacán a partir de tres pequeños círculos geodésicos	39
Figura 12.- La Proporción Dorada en la Pirámide de Keops	41
Figura 13.- Esquema básico de una sección de la isla Atlántida descrita por Platón	43

Figura 14.- Reproducción del Ayate de Juan Diego con la imagen de la Virgen de Guadalupe. Las estrellas del manto y los glifos de la túnica. La Proporción Dorada en la composición pictórica de esta imagen	46
Figura 15.- Los volcanes de la Sierra Volcánica Transversal y la túnica de la Virgen de Guadalupe	47
Figura 16.- Triángulo equilátero inscrito en el círculo ecuatorial terrestre. El triángulo anterior ser elevado un poco, es la base de un tetraedro invertido inscrito en el globo terráqueo. Dicha base se proyecta como el paralelo 19.5° N, relacionado con la topología de esferas multidimensionales	54
Figura 17.- La Espiral Dorada para usarse en el Mapa 9	(suelta)
Figura 18.- Los cinco sólidos de Platón	77
Figura 19.- Los Rectángulos Dorados en el interior del dodecaedro y del icosaedro	78
Figura 20.- Las caras pentagonales del dodecaedro, la estrella de cinco puntas y Fi	78
Figura 21.- La espiral logarítmica y el agregado de cuadrados	79
Figura 22.- Planos triangulares y rectangulares diagonales en el interior del cubo	80
Figura 23.- El método geométrico de Ghyka para calcular geoméricamente la raíz cuadrada de un número entero	82
Figura 24.- Los rectángulos de Ghyka y la Espiral Dorada	83
Figura 25.- Retículas Planetarias	84
Figura 26.- Los planetas del Sistema Solar y los Teoremas Métricos	86

INTRODUCCION

Hace cerca de seis años, como parte de un programa de investigación en el CIBM (Centro de Investigaciones en Bioinformación Multidimensional) que yo fundara ya hace 10 años, empecé a dibujar sobre globos terráqueos a escala y sobre mapas profesionales, varios de los llamados sistemas reticulares, los cuales consisten en una serie de líneas acomodadas de tal manera que constituyen un intrincado patrón esférico reticular o en forma de lattice, sobre la superficie de un planeta, y con formas como el octaedro esférico, dodecaedro esférico, e incluso estructuras más complejas, todas ellas geoméricamente relacionadas entre sí.

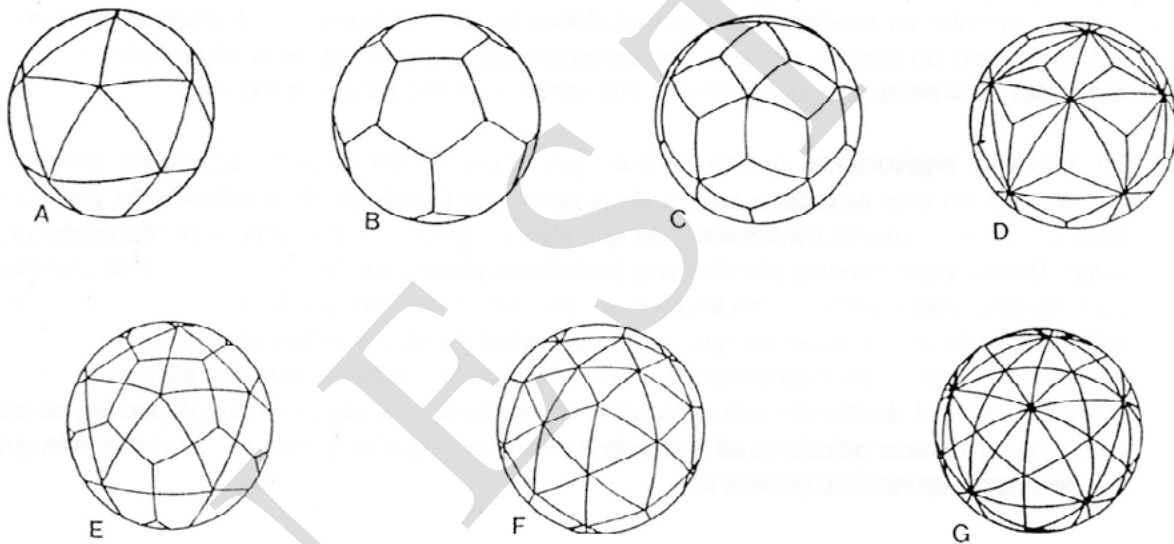


Figura 1.- Algunos modelos geoméricos de retículas esféricas: A, icosaedro; B, dodecaedro; C, triacontaedro; D, icosaedro y triacontaedro combinados; E, icosaedro y dodecaedro combinados; F, dodecaedro y triacontaedro combinados; G, icosaedro, dodecaedro y triacontaedro combinados.

Fuente: Dome Book 2, 1972.

Dibujo: E.Ortiz.

En las últimas décadas varios científicos han hablado de la existencia de tales patrones, las Retículas Mundiales, que parecen estar relacionadas con algún tipo de superestructura maestra planetaria aparentemente asociada de forma aún poco comprendida a su mismísimo desarrollo evolutivo y ecología (geología, biología, dimas, astrofísica, etc.). También se dice que éstas forman parte de un escenario ecológico reticular universal (retículas cósmicas) de información.

Para el pensador y filósofo Italiano Pietro Ubaldi (1956) la espiral constituye la trayectoria típica de las dinámicas de lo fenómenos universales. Esta es la resultante de múltiples partes y elaboraciones menores (también de tipo ondular y espiral) que la componen y a las cuales representa (la espiral.)

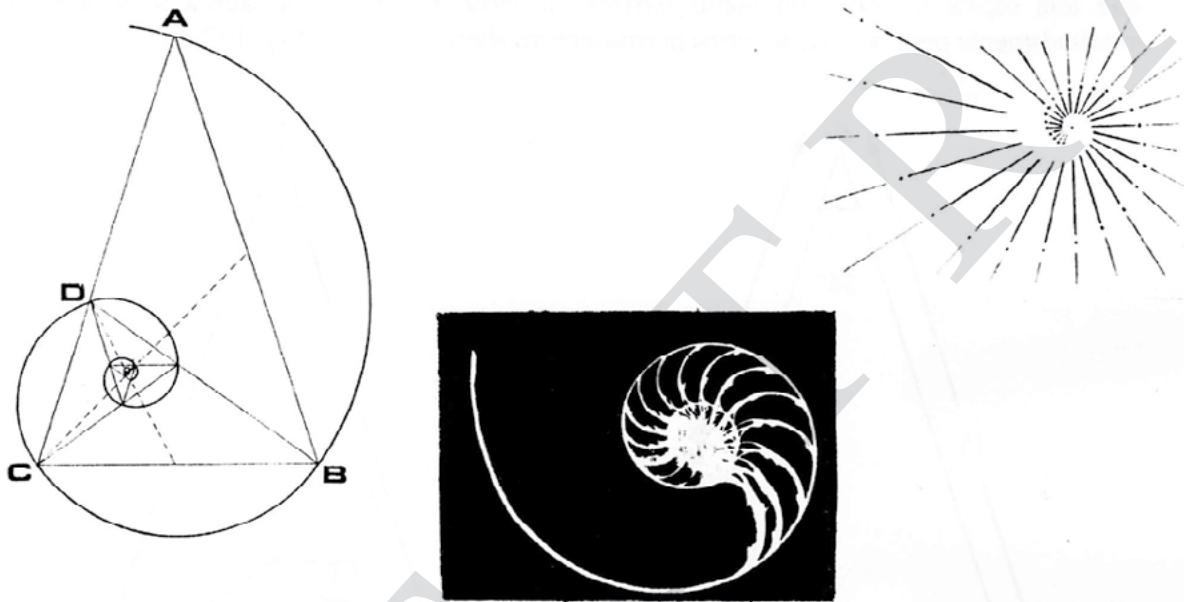


Figura 4.- La Espiral Dorada (Logarítmica); Izq., El triángulo dorado y la espiral dorada; Der., Cómo surge la ecuación polar de la espiral; Centro, Concha de Nautilus.

Fuente : Izq., Huntley (1970); Der., E. Ortiz.

Dibujo : E. Ortiz.

De acuerdo con Ubaldi, es como si el aspecto mecánico de la realidad de los fenómenos naturales estuviera regido por el principio geométrico de la espiral.

En la América precolombina muchas de sus antiguas culturas también vieron en la espiral un principio divino cósmico con funciones creativas.[5]

Así que ¿cual es el estatus de F_i , aparte de haber sido bellamente demostrada en el mundo de las matemáticas?

¿Pertenece ésta al mundo físico, o al mental o al espiritual? ¿Es F_i una constante de la naturaleza o de su trasfondo cuántico y supercuántico, también llamado supernaturaleza, o de ambas?

Una de las consideraciones interesantes que se pueden hacer cuando tomamos en cuenta las características tanto de este tipo de espiral presentes en las formas y dinámicas de la naturaleza como el tipo de ecuaciones que la representan, es que en términos generales las leyes del crecimiento biológico, ya sea en plantas o en animales, en cualquier porción o parte de los mismos es de tipo

grados presente en el ángulo constante α de esta espiral equiangular.

En sus estudios de arquitectura y urbanística precolombinas Harleston también incluye unas mediciones que realizó en la ciudad Maya de Palenque. Él descubrió que las medidas del Templo de las Inscripciones correspondían también al sistema de medida UET usado en Teotihuacán, pero también al sistema del "codo real" usado en la construcción de algunas pirámides Egipcias, por lo que pudo establecer una relación matemática entre este último y la UET.

Cuando yo estudiaba el plano que presenta Harleston del Templo de las Inscripciones pude establecer algunas correlaciones interesantes:

- Las dimensiones del habitáculo de planta rectangular que se encuentra en la parte superior de esta pirámide son de 24.6666 UET de largo por 10 UET de ancho. Si calculamos la proporción entre estas dos medidas ($24.6666 \div 10$) obtenemos la cifra 2.46666. Si esta cifra es elevada a la octava potencia (el 8 es el séptimo término de la serie Fibonacci) (usando el inciso k de Resines) obtenemos la cifra 1370.514767 que es un múltiplo decimal que incorpora al recíproco de Fi circular.

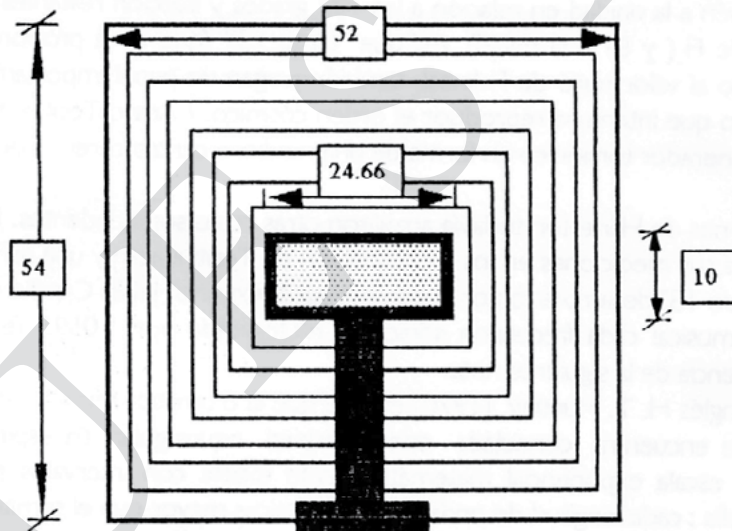


Figura 7.- El Templo de las Inscripciones en Palenque. En el lado derecho esta pirámide está unida a otro edificio. Fuente : Harleston, H. , 1982., (en Tompkins, P. , 1989). Dibujo : E. Ortiz.

Calcularé también el valor del logaritmo decimal de 2.46666. Este resultó ser igual a 0.392110465, que es muy cercano a otro importante armónico resultante de las Ecuaciones Unificadas de Cathie.[9]

- Por otro lado la raíz cuadrada de 2.46666 es igual a 1.570562532 que es igual a la mitad de Pi, la otra constante trigonométrica de los círculos también asociada a Fi en donde:

$$\text{Pi} = \text{Fi}^2 \times 6 / 5$$

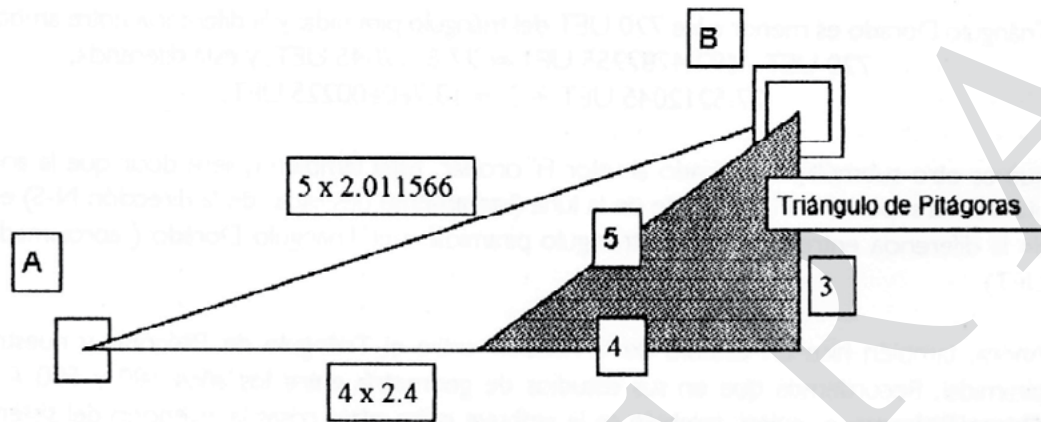


Figura 10.- El Triángulo de Pitágoras inscrito en el triángulo que forman las pirámides de la Luna (A) y del Sol (B) en Teotihuacán. Fuente : E. Ortiz, 1998. Dibujo : E. Ortiz.

Aquí tenemos de nueva cuenta que el triángulo Teotihuacano aparentemente es un triángulo pitagórico modificado mediante algunos factores : 2.4 y 2.011566554. Así 2.4 es igual a $144 \div 60$. Por otro lado 2.011566554 es igual a Fi^2 dividido entre la raíz cuadrada del armónico del que ya hablé en repetidas ocasiones: 1.694442943. En este caso he usado un valor de 2.618471678 para Fi^2 que es bastante aceptable. ¿ Para qué modificaron estos constructores sus diseños usando como punto de partida tanto el Triángulo Dorado como el Triángulo de Pitágoras ? No lo sé, pero sospecho que hubo una razón muy específica y que esto no fué hecho por descuido o por ignorancia.

Esto no deja de sorprenderme ya que todos pensamos que no hay relación entre las matemáticas de los clásicos Griegos y la de los antiguos Mesoamericanos. Pero esto parece obligarnos a repensar y revisar esa consideración de formas diversas tanto en lo que concierne a la forma en que paralela y simultáneamente diversos descubrimientos se producen en distintos lugares de nuestro planeta, como en lo concerniente al asunto del posible legado común que compartieran las culturas de América Antigua y del resto del mundo, a partir de una hipotética legendaria y antiquísima civilización.

Todo lo anterior me hace sospechar que estos armónicos, Fi , Fi' , Fi^2 , 144 (que es la piedra fundamental de las matemáticas de la retícula de Cathie), 16944, 324 fueron usados al calcular al ubicación relativa entre las dos famosas pirámides del Sol y de la Luna (estos armónicos son casi la mayor parte de aquellos armónicos principales que para Resines [6,13,14] y Cathie [9] contribuyen a la creación de la materia a partir de la luz).

Y en respuesta a la pregunta de para qué fueron usadas estas complicadas y sofisticadas matemáticas por todo el mundo, desde Teotihuacán hasta Tiahuanaco, desde Stonehenge hasta Giza, me aventuraré a decir que fueron utilizadas con el fin copiar la naturaleza, para reflejar la naturaleza, para mantener a la naturaleza en contacto armónico permanente con su origen : la luz, la supernaturaleza y las dimensiones espirituales. Es normal pensar en unos creativos arquitectos-sacerdotes diseñando

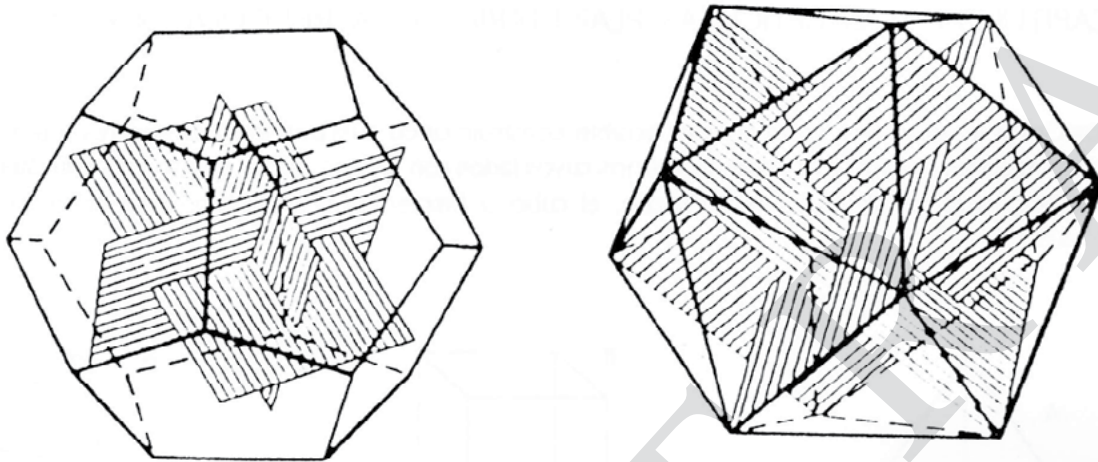
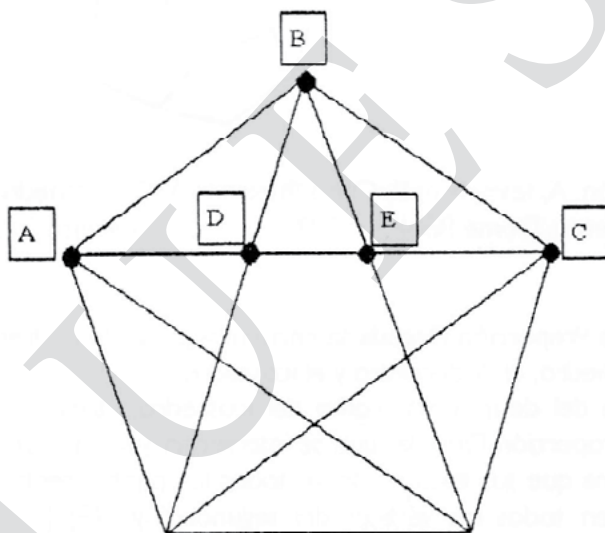


Figura 19.- Los rectángulos dorados en el interior del dodecaedro (izq.) y el icosaedro (der.).
 Fuente : Huntley, H.E., 1970. Dibujo : E. Ortiz.



$$AC \div AB = \text{Fi}$$

$$AD \div DE = \text{Fi}$$

$$DB \div DE = \text{Fi}$$

Figura 20.- Las caras pentagonales del dodecaedro, la estrella de cinco puntas y Fi.
 Fuente: P. Flanagan, 1982. Dibujo : E. Ortiz.

En el caso del tetraedro, Hough Harleston [30] encontró en sus estudios teotihuacanos, que en ese impresionante sitio arqueológico, Fi se encuentra asociada con este sólido.
 El menciona que un tetraedro cuya altura es de 12 unidades (raíz cuadrada del armónico 144) se encuentra constituido por cuatro triángulos equiláteros cuyos lados miden 14.797 unidades y el

Buckminster Fuller, vuelve a encontrar que todos los grupos de planetas del Dr. Alvarez, cada uno correspondiendo a los cuerpos que se van generando a partir de la estructura original de Fuller, se derivan de ella de manera secuencial. El cuboctaedro (estructura original) comprende a los planetas del Grupo 1; el Grupo 2 se relaciona con el cuboctaedro dividido en dos

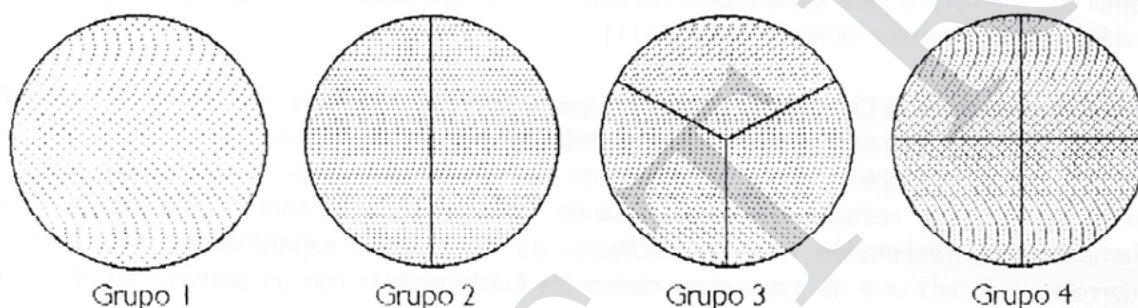


Figura 26.- Los planetas del Sistema Solar y su número reticular de acuerdo con los Teoremas Métricos.

Fuente: J. Alvarez L., 1950 (en J. Resines, 1989).

Dibujo: E. Ortiz.

" hemisferios "; el tetraedro predomina como estructura básica del Grupo 3, y el octaedro guarda la misma relación con los planetas del Grupo 4. Sin embargo aunque en uno o en otro planeta predomine una u otra retícula, el resto de ellas, derivadas de los cinco sólidos platónicos, coexisten simultáneamente de manera potencial o bien de manera paralela.

Todo lo anterior nos da una idea del esfuerzo no solamente por entender matemática y geoméricamente la estructura fundamental de las redes planetarias de energía, sino también desde el punto de vista de la ecología de la materia, de la energía, de la información y de la conciencia.

He estado ilustrando aquí varias cosas. Por un lado el interés de científicos serios que consideran que el estudio de las redes planetarias es importante, y por otro, que todos ellos han siempre intuido que existe un origen común para todas ellas. Así es que mi trabajo no es un caso aislado ya que en esencia pretendo los mismos objetivos que todos ellos. Por eso es que en esta publicación intento dar a conocer mi respuesta en relación a la búsqueda de lo que Jorge Resines ha llamado el "modelo universal" para las retículas planetarias, cosa que he tratado de hacer tanto en el capítulo anterior como en algunos párrafos de éste último.

Todas las investigaciones llegan hasta los cinco sólidos platónicos y el cuerpo que los genera (el cuboctaedro y la Esfera Geométrica Vectorial Unificada), y en mi trabajo voy desde los cinco sólidos platónicos hasta F_1 , la Proporción Dorada, como un elemento común que los interconecta a todos ellos entre sí (y que indica tal vez un origen común para todos), y a la vez los genera (en